

# Оглавление

<b>Введение</b>	<b>5</b>
<b>1 Аналитическая часть</b>	<b>6</b>
1.1 Анализ алгоритмов удаления невидимых линий и поверхностей	6
1.1.1 Алгоритм обратной трассировки	6
1.1.2 Алгоритм Робертса	7
1.1.3 Алгоритм, использующий Z-буфер	9
1.2 Анализ методов закрашивания	10
1.2.1 Простая закрашка	10
1.2.2 Закрашка по Гуро	11
1.2.3 Закрашка по Фонгу	12
<b>2 Конструкторская часть</b>	<b>15</b>
2.1 Понятие броуновского движения	15
2.2 Моделирование броуновского движения	16
2.2.1 Классическое броуновское движение	16
2.2.2 Алгоритм срединных смещений	17
2.2.3 Фрактальное броуновское движение	18
2.3 Формализация модели	22
2.4 Требования к программному обеспечению	23
<b>3 Технологическая часть</b>	<b>24</b>
3.1 Средства реализации	24
3.2 Выбор программного обеспечения	24
3.2.1 Swing	24
3.2.2 JavaFX	25
3.3 Описание используемых типов и структур данных	26
<b>Заключение</b>	<b>28</b>

Литература . . . . .	29
----------------------	----

# Введение

С развитием компьютерных технологий компьютерная графика приобрела совершенно новый статус, поэтому сегодня она является основной технологией в цифровой фотографии, кино, видеоиграх, а также во многих специализированных приложениях. Было разработано большое количество алгоритмов отображения. Главными критериями, которые к ним предъявляются, являются реалистичность изображения и скорость отрисовки. Однако зачастую чем выше реалистичность, тем больше времени и памяти требуется для работы алгоритма.

Одним из направлений моделирования является моделирование движения частиц. Имеется огромная потребность в качественной и эффективной отрисовке распространения частиц вируса. Особенно эта тема стала актуальной после начала пандемии коронавируса. Пандемия COVID-19 повлияла на жизнь миллионов людей по всему миру. Помимо серьезных последствий для здоровья, пандемия также изменила нашу повседневную жизнь, перевернула рынок вакансий и подорвала экономическую стабильность. В данном курсовом проекте речь пойдет о моделировании распространения частиц вирусной инфекции.

Цели данной работы - подготовить всю необходимую базу для реализации программного обеспечения, которое предоставляет возможность моделировать распространение частиц коронавирусной инфекции в помещении.

Задачи, которые необходимо выполнить для достижения поставленной цели:

- изучить алгоритмы удаления невидимых линий и поверхностей и методы закраски;
- проанализировать алгоритмы, моделирующие броуновское движение частиц;
- выбрать подходящие для решения поставленной задачи алгоритмы;
- выявить основные требования для программного обеспечения;
- формализовать модель и описать выбранные типы и структуры данных;
- выбрать язык программирования и среду разработки.

# 1 Аналитическая часть

## 1.1 Анализ алгоритмов удаления невидимых линий и поверхностей

### 1.1.1 Алгоритм обратной трассировки

Алгоритм обратной трассировки лучей отслеживает лучи в обратном направлении (от наблюдателя к объекту). Считается, что наблюдатель расположен на положительной полуоси  $z$  в бесконечности, поэтому все световые лучи параллельны оси  $z$ . В ходе работы испускаются лучи от наблюдателя и ищутся пересечения луча и всех объектов сцены. В результате, пересечение с максимальным значением  $z$  является видимой частью поверхности, и атрибуты данного объекта используются для определения характеристик пикселя, через центр которого проходит данный световой луч.

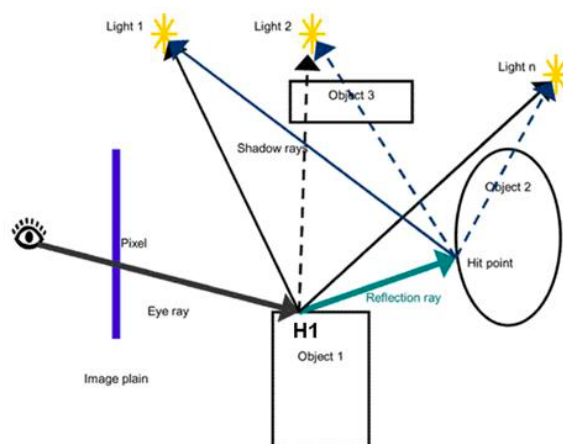


Рисунок 1.1 – Алгоритм обратной трассировки

Эффективность процедуры определения пересечений луча с поверхностью объекта оказывает самое большое влияние на эффективность всего алгоритма. Чтобы избавиться от ненужного поиска пересечений было придумано искать пересечение луча с объемной оболочкой рассматриваемого объекта. Под оболочкой понимается некоторый простой объект, внутрь которого можно поместить рассматриваемый объект, к примеру параллелепипед или сферу.

В дальнейшем при рассмотрении пересечения луча и объемной оболочкой рассматриваемого объекта, если такого пересечения нет, то и соответственно пересечения луча и самого рассматриваемого объекта нет, и наоборот, пересечение найдено, то возможно, есть пересечение луча и рассматриваемого объекта.

Для расчета эффектов освещения сцены проводятся вторичные лучи от точек пересечения ко всем источникам света. Если на пути этих лучей встречается непрозрачное тело, значит данная точка находится в тени, иначе он влияет на освещение данной точки. Также для получения более реалистичного изображения сцены, нужно учитывать вклады отраженных и преломленных лучей.

Плюсы:

- возможность использования алгоритма в параллельных вычислительных системах.

Минусы:

- требуется большое количество вычислений;
- производительность алгоритма.

### 1.1.2 Алгоритм Робертса

Алгоритм Робертса работает в объектном пространстве, кроме того работает только с выпуклыми телами. Если тело изначально является не выпуклым, то нужно его разбить на выпуклые составляющие.

Данный алгоритм состоит из следующих основных этапов:

- подготовка исходных данных;
- удаление линий, экранируемых самим телом;
- удаление линий, экранируемых другими телами.

Для определения, лежит ли точка в положительном подпространстве, используют проверку знака скалярного произведения  $(l, n)$ , где  $l$  – вектор, направленный к наблюдателю, фактически определяет точку наблюдения;  $n$  – вектор внешней нормали грани. Если  $(l, n) > 0$ , т. е. угол между векторами острый, то грань является лицевой. Если  $(l, n) < 0$ , т. е. угол между векторами тупой, то грань является нелицевой. В алгоритме Робертса требуется, чтобы все изображаемые тела или объекты были выпуклыми. Невыпуклые тела должны быть разбиты на выпуклые части. В этом алгоритме выпуклое многогранное тело с плоскими гранями должно представиться набором пересекающихся плоскостей. Уравнение произвольной плоскости в трехмерном пространстве имеет вид

$$ax + by + cz + d = 0 \quad (1.1)$$

В матричной форме этот результат выглядит так:

$$[x \ y \ z \ 1][P]^T = 0 \quad (1.2)$$

где  $[P]^T = [a \ b \ c \ d]$  представляет собой плоскость. Поэтому любое выпуклое твердое тело можно выразить матрицей тела, состоящей из коэффициентов уравнений плоскостей, т. е.

$$M = \begin{bmatrix} a_1 & a_2 & \dots & a_n \\ b_1 & b_2 & \dots & b_n \\ c_1 & c_2 & \dots & c_n \\ d_1 & d_2 & \dots & d_n \end{bmatrix}, \quad (1.3)$$

где каждый столбец содержит коэффициенты одной плоскости.

Любая точка пространства представима в однородных координатах вектором  $[S] = [x \ y \ z \ 1]$ . Более того, если точка  $[S]$  лежит на плоскости, то  $[S] * [P]^T = 0$ . Если же  $[S]$  не лежит на плоскости, то знак этого скалярного произведения показывает, по какую сторону от плоскости расположена точка. В алгоритме Робертса предполагается, что точки, лежащие внутри тела, дают отрицательное скалярное произведение, т. е. нормали направлены наружу.

Плюсы алгоритма:

- высокая точность вычислений.

Минусы:

- рост числа трудоемкости алгоритма, как квадрата числа объектов;
- работа только с выпуклыми телами.

### 1.1.3 Алгоритм, использующий Z-буфер

Алгоритм Z-буфера решает задачу в пространстве изображений.

В данном алгоритме рассматривается два буфера. Буфер кадра (регенерации) используется для заполнения атрибутов (интенсивности) каждого пикселя в пространстве изображения. В Z-буфер (буфер глубины) можно помещать информацию о координате  $z$  для каждого пикселя.

Для начала необходимо подготовить буферы. Для этого в Z-буфер заносятся максимально возможные значения  $z$ , а буфер кадра заполняется значениями пикселя, который описывает фон. Также нужно каждый многоугольник преобразовать в растровую форму и записать в буфер кадра. Сам процесс работы заключается в сравнении глубины каждого нового пикселя, который нужно занести в буфер кадра, с глубиной того пикселя, который уже занесён в Z-буфер. В зависимости от сравнения принимается решение, нужно ли заносить новый пиксель в буфер кадра и, если нужно, также корректируется Z-буфер (в него нужно занести глубину нового пикселя).

Плюсы:

- элементы сцены заносятся в буфер кадра в произвольном порядке, поэтому в данном алгоритме не тратится время на выполнение сортировок;
- произвольная сложность сцены;
- поскольку размеры изображения ограничены размером экрана дисплея, трудоемкость алгоритма зависит линейно от числа рассматриваемых поверхностей.

Минусы:

- трудоемкость устранения лестничного эффекта;
- трудности реализации эффектов прозрачности;
- большой объем требуемой памяти.

## **Вывод**

Для удаления невидимых линий и поверхностей выбран алгоритм Z-буфера, так как обладает важными преимуществами - высокой скоростью работы и произвольной сложностью сцены.

## **1.2 Анализ методов закрашивания**

Методы закрашивания используются для затенения полигонов (или поверхностей, аппроксимированных полигонами) в условиях некоторой сцены, имеющей источники освещения.

Существует несколько основных методов закрашки:

- простая закрашка;
- закрашка по Гуро, основанная на интерполяции значений интенсивности освещенности поверхности;
- закрашка по Фонгу, основанная на интерполяции векторов нормалей к граням многогранника.

### **1.2.1 Простая закрашка**

Одной из самых простых моделей освещения является модель Ламберта. Она учитывает только идеальное диффузное отражение света от тела. Считается, что свет падающий в точку, одинаково рассеивается по всем направлениям полупространства. Таким образом, освещенность в точке определяется



только плотностью света в точке поверхности, а она линейно зависит от косинуса угла падения. При этом положение наблюдателя не имеет значения, т.к. диффузно отраженный свет рассеивается равномерно по всем направлениям.

Простая закраска используется при выполнении трех условий:

- предполагается, что источник находится в бесконечности;
- предполагается, что наблюдатель находится в бесконечности;
- закрашиваемая грань является реально существующей, а не полученной в результате аппроксимации поверхности.

Большим недостатком данной модели является то, что все точки грани будут иметь одинаковую интенсивность.



Рисунок 1.2 – Пример простой закраски

### 1.2.2 Закраска по Гуро

Данный алгоритм предполагает следующие шаги:

- вычисление векторов нормалей к каждой грани;
- вычисление векторов нормали к каждой вершине грани путем усреднения нормалей к граням;
- вычисление интенсивности в вершинах грани;
- интерполяция интенсивности вдоль ребер грани;

- линейная интерполяция интенсивности вдоль сканирующей строки.

Плюсы:

- хорошо сочетается с диффузным отражением;
- изображение получается более реалистичным, чем при простой закраске.

Минусы:

- данный метод интерполяции обеспечивает лишь непрерывность значений интенсивности вдоль границ многоугольников, но не обеспечивает непрерывность изменения интенсивности.

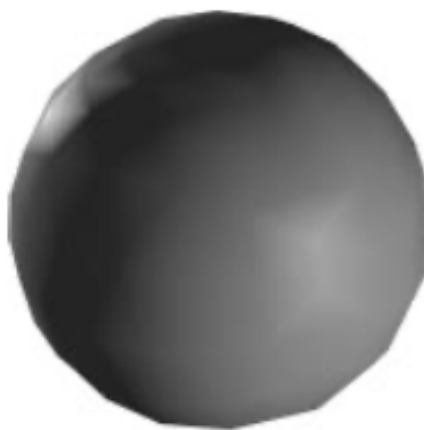


Рисунок 1.3 – Пример закраски по Гуро

### 1.2.3 Закраска по Фонгу

При такой закраске, в отличие от метода Гуро, вдоль сканирующей строки интерполируется значение вектора нормали, а не интенсивности.

Шаги алгоритма:

- вычисление векторов нормалей в каждой грани.
- вычисление векторов нормали к каждой вершине грани.
- интерполяция векторов нормалей вдоль ребер грани.

- линейная интерполяция векторов нормалей вдоль сканирующей строки.
- вычисление интенсивности в очередной точке сканирующей строки.

Плюсы:

- можно достичь лучшей локальной аппроксимации кривизны поверхности.

Минусы:

- ресурсоемкость;
- вычислительная сложность.

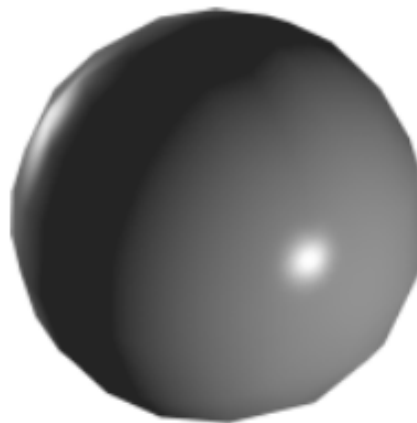


Рисунок 1.4 – Пример закраски по Фонгу

## Вывод

Для закрашивания выбран алгоритм Фонга, так как данный алгоритм обладает важным преимуществом - высокой реалистичностью изображения.

## Вывод

В данном разделе были формально описаны алгоритмы удаления невидимых линий и поверхностей, методы закрашивания поверхностей. В качестве

алгоритма удаления невидимых линий и поверхностей был выбран алгоритм Z-буфера, в качестве метода закрашивания был выбран алгоритм закрашки Фонга.

## 2 Конструкторская часть

### 2.1 Понятие броуновского движения

**Броуновское движение** (иногда называют Брауновское движение) – беспорядочное движение малых частиц, взвешенных в жидкости или газе, происходящее под действием молекул окружающей среды.

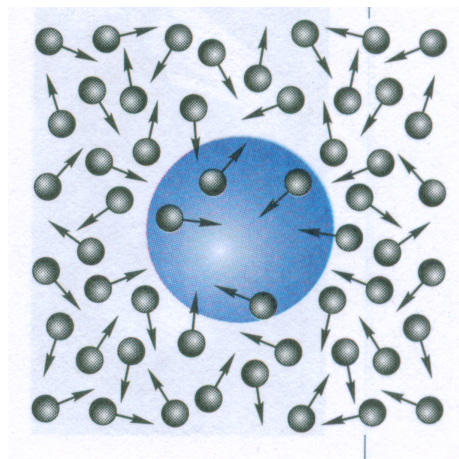


Рисунок 2.1 – Броуновское движение

Броуновское движение представляет собой пример естественного фрактала с фрактальной размерностью  $d = 1.5$  (Мандельброт и Ван Несс, 1968). Впервые его наблюдал шотландский ботаник Роберт Броун в 1827 году: он заметил непрерывное беспорядочное движение взвешенных в жидкости маленьких частиц (пыльцы), но ошибочно приписал причину движения самим частицам. Только в 1905 году Альберт Эйнштейн и вслед за ним в 1906 году Мариан Смолуховский объяснили это движение хаотическими соударениями с молекулами окружающей среды. В 1908–1913 годах Жан Батист Перрен поставил ряд опытов, подтвердивших выводы Эйнштейна и Смолуховского. И, наконец, в 1923 год Норберт Винер построил первую математическую модель броуновского движения. Альтернативные подходы были предложены Андреем Николаевичем Колмогоровым в 1933 году и Полем Леви в 1948 году.

## 2.2 Моделирование броуновского движения

### 2.2.1 Классическое броуновское движение

Рассмотрим случайный процесс (случайную величину)  $X(t)$ , заданную на отрезке  $[0, T]$ .

*Случайный процесс  $X(t)$  называется одномерным броуновским движением (или винеровским процессом) на интервале  $[0, T]$ , если он обладает следующими свойствами:*

- $X(0) = 0$  почти наверное и  $X(t)$  - почти наверное непрерывная функция на  $[0, T]$
- $X(t)$  - процесс с независимыми приращениями
- $X(t)$  - процесс с приращениями, распределёнными нормально.

Отметим следующие свойства броуновского движения:

- $X(t)$  почти наверное нигде не дифференцируем
- $X(t)$  - марковский процесс (не обладает памятью), т.е. если известна величина  $X(t)$ , то при  $t_1 < t < t_2$  величины  $X(t_1)$  и  $X(t_2)$  независимы.
- Фрактальная размерность графика  $X(t)$  равна 1.5
- Приращение  $X(t)$  обладает свойством статистического самоподобия: для любого  $r > 0$

$$X(t + \Delta t) = \frac{1}{\sqrt{r}}(X(t + r \Delta t) - X(t)) \quad (2.1)$$

- Стационарность приращений: дисперсия приращения зависит только от разности моментов времени

$$D(X(t_2) - X(t_1)) = \sigma^2 |t_2 - t_1| \quad (2.2)$$

- Математическое ожидание приращения равно

$$E(|X(t_2) - X(t_1)|) = \sqrt{\frac{2}{\pi}}\sigma\sqrt{|t_2 - t_1|} \quad (2.3)$$

Для моделирования броуновского движения можно воспользоваться разными алгоритмами. Рассмотрим 3 из них.

Проще всего реализовать дискретную реализацию броуновского движения, рассмотрев последовательность  $x_0 = 0$ ,  $x_{n+1} = x_n + g_n$ , где  $g_n$  - случайная величина, имеющая нормальное распределение (например,  $N(0, 1)$ ).

```

1: array[N]
2: array[0]  $\leftarrow$  0
3: for i = 1,..., N do
4:   array[i + 1]  $\leftarrow$  array[i] + randomNormal(0, 1)
5: end for
```

## 2.2.2 Алгоритм срединных смещений

Метод случайного срединного смещения основан на работах Н. Виннера, он более сложен, чем метод из предыдущего параграфа, однако используется для конструктивного доказательства существования броуновского движения, а также для построения фрактальной интерполяции (когда необходимо чтобы кривая проходила через заданные точки интерполяции). Метод также может быть обобщен на случай  $n$ -мерных броуновских движений.

Алгоритм случайного срединного смещения вычисляет значения  $X(t)$  в диадических рациональных точках вида  $\frac{k}{2^n} \in [0, 1]$ . Последовательно вычисляются значения в середине отрезка  $[0, 1]$ , а затем в серединах отрезков  $[0, \frac{1}{2}]$  и  $[\frac{1}{2}, 1]$  и т.д. На каждом шаге итерации должен выполняться закон дисперсии для приращения в вычисленных точках. Параметр  $\sigma$  определяет масштаб по вертикальной оси, не влияя на фрактальную размерность графика.

### Броуновское движение методом срединного смещения

Вход:  $N, \sigma$  //  $N$  - число шагов алгоритма, при этом всего  $2^N + 1$  точек интерполяции,  $\sigma$  - параметр вертикального масштаба, коэффициент диспер-

сии

Выход: массив значений  $\{X(\frac{k}{2^N})\}_{k=0}^{2^N}$  // реализация броуновского движения  $X(t)$  на дискретном множестве точек вида  $t_k = \frac{k}{2^N}$ ,  $k \in [0, 2^N]$

```

1:  $X(0) \leftarrow 0$ 
2:  $X(1) \leftarrow \sigma g$  //  $g$  - случайная величина, распределенная нормально с параметрами  $N(0, 1)$ 
3: for  $j = 1, \dots, N$  do
4:   for  $i = 1, \dots, 2^{N-1}$  do
5:      $X((2i-1)2^{N-j}) \leftarrow X((i-1)2^{N-j+1}) + X(i2^{N-j+1}) + \frac{1}{2^{(j+1)/2}} \sigma g$ 
6:   end for
7: end for

```

### 2.2.3 Фрактальное броуновское движение

Фрактальное броуновское движение (ФБД) уже не является марковским процессом, а обладает некой "памятью". Кроме того, вводя параметр  $0 < H < 1$  можно получить одномерное ФБД размерности  $d = 2 - H$  и двумерное ФБД размерности  $d = 3 - H$ . Заметим, что классическое броуновское движение получается как частный случай при  $H = 0.5$ . Для аппроксимации ФБД нет простого метода, вроде суммирования нормальных случайных величин, как в случае классического броуновского движения. Для аппроксимации ФБД наиболее удобно использовать преобразования Фурье.

Рассмотрим случайный процесс (случайную величину)  $X(t)$ , заданную на отрезке  $[0, T]$ .

*Случайный процесс*  $X(t)$  называется одномерным фрактальным броуновским движением на интервале  $[0, T]$ , если он обладает следующими свойствами:

- $X(0) = 0$  почти наверное и  $X(t)$  - почти наверное непрерывная функция на  $[0, T]$
- $X(t)$  - процесс с приращениями, распределенными нормально

Отметим следующие свойства фрактального броуновского движения:

- $X(t)$  почти наверное нигде не дифференцируем



- Фрактальная размерность графика  $X(t)$  равна  $2 - H$
- Процесс  $x(t)$  не обладает свойством независимости приращений
- Приращение  $X(t)$  обладает свойством статистического самоподобия: для любого  $r > 0$

$$X(t + \Delta t) = \frac{1}{\sqrt{r}}(X(t + r \Delta t) - X(t)) \quad (2.4)$$

- Стационарность приращений: дисперсия приращения зависит только от разности моментов времени

$$D(X(t_2) - X(t_1)) = \sigma^2 |t_2 - t_1|^{2H} \quad (2.5)$$

- Математическое ожидание приращения равно

$$E(|X(t_2) - X(t_1)|) = \sqrt{\frac{2}{\pi}} \sigma |t_2 - t_1|^H \quad (2.6)$$

## Метод Фурье-фильтрации для построения ФБД

**Теорема 1.** Если  $X(t)$  - ФБД с параметром  $H$ , то его спектральная плотность

$$S(f) \propto \frac{1}{f^{2H+1}} \quad (2.7)$$

Идея метода состоит в следующем. Строится преобразование Фурье для искомого ФБД в частной области, задавая случайные фазы и подбирая амплитуды, удовлетворяющие свойству из Теоремы 1. Затем получаем ФБД во временной области с помощью обратного преобразования Фурье.

Будем моделировать дискретный аналог ФБД, то есть наша цель - получить величины  $\{X_n\}_{n=0}^{N-1}$ , аппроксимирующие ФБД в точках  $n$ . Воспользуемся формулой дискретного преобразования Фурье

$$\hat{X}_n = \sum_{k=0}^{N-1} X_k e^{-2\pi k n / N} \quad (2.8)$$

и обратного дискретного преобразования Фурье

$$X_n = \sum_{k=0}^{N-1} \hat{X}_k e^{2\pi kn/N} \quad (2.9)$$

Далее будем рассматривать только четные значения  $N$ , а для применения метода *быстрого дискретного преобразования Фурье* нужно, чтобы  $N = 2^M$ ,  $M \in \mathbb{N}$ . Метод быстрого дискретного преобразования Фурье реализован во многих системах компьютерной алгебры. Он позволяет сократить вычисления в  $\frac{2N}{\log_2 N}$  раз.

Для того, чтобы получающиеся величины  $X_n$  были вещественными мы наложим условие сопряженной симметрии:

$$\hat{X}_0, \hat{X}_{N/2} \in \mathbb{R}, \hat{X}_n = \hat{X}_{N-n}, n = 1, \dots, N/2 - 1 \quad (2.10)$$

Фильтрация относится к той части моделирования, когда мы заставляем коэффициенты преобразования Фурье удовлетворять степенному закону из Теоремы 1:

$$|\hat{X}_n|^2 \propto \frac{1}{n^{2H+1}}, n = 1, \dots, N/2 \quad (2.11)$$

Для этого возьмем

$$\hat{X}_n = \frac{ge^{2\pi iu}}{n^{H+0.5}} \quad (2.12)$$

где  $g$  - независимые значения нормально распределенной случайной величины с параметрами  $N(0, 1)$ , а  $u$  - независимые значения равномерно распределенной на отрезке  $[0, 1]$  случайной величины. Оставшиеся коэффициенты вычислим из соотношений 1.15.

Для вычисления искомой аппроксимации ФБД  $\{X_n\}_{n=0}^{N-1}$  применим обратное дискретное преобразование Фурье к набору  $\{\hat{X}_n\}_{n=0}^{N-1}$ .

### Кривая ФБД методом Фурье-фильтрации

Вход:  $H \in (0, 1)$ ,  $N = 2^M$ ,  $M \in \mathbb{N}$  //  $H$  - параметр ФБД, размерность графика равна  $d = 2 - H$ ,  $N$  - параметр, определяющий количество точек дискретизации ФБД.

Выход: массив значений  $\{X_n\}_{n=0}^{N-1}$  // дискретная аппроксимация ФБД в

последовательные моменты времени  $n$ .

```

1:  $\hat{X}_0 \leftarrow g$ 
2: for  $j = 1, \dots, N/2-1$  do
3:    $\hat{X}_j \leftarrow \frac{ge^{2\pi iu}}{j^{H+0.5}}$ 
4: end for
5:  $\hat{X}_{N/2} \leftarrow \frac{g \cos(2\pi iu)}{(N/2)^{H+0.5}}$  // Здесь  $\cos$  — вещественная часть комплексной экспоненты  $e$ 
6: for  $j = N/2+1, \dots, N-1$  do
7:    $\hat{X}_j \leftarrow \hat{X}_{N-j}$ 
8: end for
9:  $X \leftarrow \text{convert}(\hat{X})$  // Вектор  $X = \{X_0, \dots, X_{N-1}\}$  получается обратным дискретным преобразованием Фурье из вектора  $\hat{X} = \{\hat{X}_0, \dots, \hat{X}_{N-1}\}$ .

```

Для построения аппроксимации двумерного фрактального броуновского движения методом Фурье-фильтрации используются те же идеи, что и в одномерном случае. Вместо  $\hat{X}_n$  используется  $\hat{X}_{k,j}$ ,  $k, j = \overline{0, N-1}$ , условие Теоремы 1 примет вид:

$$|\hat{X}_{k,j}|^2 \propto \frac{1}{(k^2 + j^2)^{H+1}}, n, k = 1, \dots, N/2 \quad (2.13)$$

МЫ ВОЗЬМЕМ

$$\hat{X}_{k,j} = \frac{ge^{2\pi iu}}{(k^2 + j^2)^{H/2+0.5}}, n, k = 1, \dots, N/2 \quad (2.14)$$

Запишем обратное дискретное преобразование Фурье: для  $m, n = \overline{0, N-1}$

$$\begin{aligned}
\hat{X}_{m,n} &= \sum_{k=0}^{N-1} \sum_{j=0}^{N-1} \hat{X}_{k,j} e^{-2\pi i \frac{kn+jm}{N}} = \hat{X}_{0,0} + \sum_{k=1}^{N-1} \hat{X}_{k,0} e^{-2\pi i \frac{kn}{N}} + \sum_{j=1}^{N-1} \hat{X}_{0,j} e^{-2\pi i \frac{jm}{N}} + \\
&\quad \sum_{k=1}^{N/2} \sum_{j=1}^{N/2} \hat{X}_{k,j} e^{-2\pi i \frac{kn+jm}{N}} + \sum_{k=\frac{N}{2}+1}^{N-1} \sum_{j=\frac{N}{2}+1}^{N-1} (...) + \sum_{k=1}^{N/2} \sum_{j=\frac{N}{2}+1}^{N-1} (...) + \sum_{k=\frac{N}{2}+1}^{N-1} \sum_{j=1}^{N/2} (...)
\end{aligned} \quad (2.15)$$

Из формулы (1.19) следует, что для вещественности всех величин  $X_{m,n}$  достаточно выполнения следующих условий сопряженной симметрии:

$$\hat{X}_{N-k,N-j} = \overline{\hat{X}_{k,j}} \quad k, j = \overline{1, N/2} \quad \hat{X}_{N/2,N/2} \in \mathbb{R} \quad (2.16)$$

$$\hat{X}_{k,N-j} = \overline{\hat{X}_{N-k,j}} \quad k, j = \overline{1, N/2 - 1} \quad \hat{X}_{0,0} \in \mathbb{R} \quad (2.17)$$

$$\hat{X}_{0,N-j} = \overline{\hat{X}_{0,j}} \quad j = \overline{1, N/2} \quad \hat{X}_{0,N/2} \in \mathbb{R} \quad (2.18)$$

$$\hat{X}_{N-k,0} = \overline{\hat{X}_{k,0}} \quad k = \overline{1, N/2} \quad \hat{X}_{N/2,0} \in \mathbb{R} \quad (2.19)$$

Условия (1.22)-(1.23) обеспечивают вещественность первых двух сумм, а условия (1.20)-(1.21) - оставшихся четырех сумм.

## Вывод

Алгоритм Фурье-фильтрации содержит большое количество сложных вычислений, которые отрицательно влияют на скорость работы программы. Однако он позволяет наиболее реалистично изобразить броуновское движение, а также легко обобщается для случая  $n$ -мерных движений. Поэтому для реализации поставленной задачи был выбран именно этот алгоритм.

## 2.3 Формализация модели

Модель броуновского движения частиц будет задаваться такими характеристиками, как:

- скорость распространения – число типа *int*;
- количество частиц – число типа *int*.

Также на сцене будет изображено пустое помещение и абстрактная фигура человека в его центре. Пользователь должен уметь задавать материал покрытия стен:

- дерево
- бумага (обои)

и пола:

- дерево (паркет)
- керамика (плитка).

## 2.4 Требования к программному обеспечению

Программа должна предоставлять доступ к функционалу:

- возможность выбора материала покрытия пола и стен из предложенных вариантов (дерево, бумага(обои), керамика(плитка));
- изменение скорости движения;
- изменение количества частиц инфекции;
- включение и выключение работы модели распространения частиц;
- вращение, перемещение и масштабирование модели.

Требования, которые предъявляются к программе:

- время отклика программы должно быть менее 1 секунды для корректной работы в интерактивном режиме;
- программа должна корректно реагировать на любое действие пользователя.

## Вывод

В данном разделе были рассмотрены основные алгоритмы для реализации поставленной задачи, т.е. моделирования броуновского движения частиц. В качестве основного алгоритма был выбран метод Фурье-фильтрации. Также была формализована модель и определены требования, которые выдвигаются к программному продукту.

## 3 Технологическая часть

### 3.1 Средства реализации

При написании программного продукта был выбран язык *Java*. Это обусловлено следующими факторами:

- объектно-ориентированный язык, что позволяет использовать структуру классов;
- имеются необходимые библиотеки для реализации поставленной задачи;
- существует много учебной литературы.

В качестве среды разработки была выбрана *IntelliJ IDEA*. *IntelliJ IDEA* – это интеллектуальная IDE, учитывающая контекст. Она предназначена для разработки разнообразных приложений на Java и других языках JVM, например Kotlin, Scala и Groovy. Также она поддерживает Git.

### 3.2 Выбор программного обеспечения

В языке Java есть несколько основных инструментов для создания пользовательских изображений. Самыми популярными из них являются JavaFX и Swing.

#### 3.2.1 Swing

**Swing** – библиотека для создания графического интерфейса для программ на языке Java. Swing был разработан компанией Sun Microsystems. Он содержит ряд графических компонентов, таких как кнопки, поля ввода, таблицы и т. д.

**Преимущества:**

- Кроссплатформенность;

- Компоненты Swing следуют парадигме Model-View-Controller (MVC) и, таким образом, могут обеспечить гораздо более гибкий пользовательский интерфейс;
- Swing обеспечивает встроенную двойную буферизацию.

#### **Недостатки:**

- достаточно узкий спектр возможностей при работе с ui.
- считается устаревшей библиотекой.

### **3.2.2 JavaFX**

**JavaFX** – платформа на основе Java для создания приложений с насыщенным графическим интерфейсом. Может использоваться как для создания настольных приложений, запускаемых непосредственно из-под операционных систем, так и для интернет-приложений, работающих в браузерах, и для приложений на мобильных устройствах.

JavaFX предназначен для предоставления приложениям таких сложных функций графического интерфейса, как плавная анимация, просмотр веб-страниц, воспроизведение аудио и видео, а также использование CSS стилей.

#### **Преимущества:**

- кроссплатформенность;
- больше встроенных возможностей.

#### **Недостатки:**

- в значительной степени зависит от огромной инфраструктуры, которая окружает Java.

### **Вывод**

Уже более 10 лет разработчики приложений считают Swing высокоэффективным инструментарием для создания графических пользовательских

интерфейсов (GUI) и добавления интерактивности в Java-приложения. Однако некоторые из самых популярных на сегодняшний день функций графического интерфейса не могут быть легко реализованы с помощью Swing в отличии от JavaFX.

Также можно писать программы на JavaFX, используя гораздо меньше кода, потому что JavaFX выполняет за нас всю работу. Не нужно регистрировать event listeners, и это делает тело функций более кратким. Кроме того, с помощью механизма привязки JavaFX легко интегрировать компоненты графического интерфейса с базовой моделью. Основываясь на вышесказанном в качестве библиотеки для работы с GUI была выбрана JavaFX.

### 3.3 Описание используемых типов и структур данных

Для реализации частиц используются следующие типы и структуры данных:

- *VirusParticle* – класс, хранящий всю информацию о частице.

*Point* – класс для работы с координатами частицы;

*EnvironmentType* – перечисление сред, в которых может находиться частица в данный момент (для отслеживания времени жизни вирусной частицы).

Листинг 3.1 – Структуры данных для хранения информации о частицах вируса

```
1 class VirusParticle {
2     Point[] arrayName;
3     EnvironmentType environmentType;
4     int intensity;
5 }
6
7 enum EnvironmentType {
8     WOOD, PAPER, PLASTIC, AIR
9 }
10
```



```
11 class Point {  
12     int x;  
13     int y;  
14     int z;  
15 }
```

Для реализации объектов сцены используются следующие типы и структуры данных:

- *Box* – отображение стен и пола в помещении;
- *Person* – отображение абстрактной фигуры человека;
- *Texture* – обеспечивает загрузку из файла текстуры, ее интерпретацию на простую поверхность;
- *Scene* – характеризует набор объектов и их свойств

## Вывод

В данном разделе были рассмотрены технологии, которые будут использованы при реализации ПО. В качестве языка была выбрана *Java*. Для реализации пользовательского интерфейса выбрана библиотека *JavaFX*. Среда разработки - *IntelliJ IDEA*. Также были описаны используемые типы и структуры данных.

# Заключение

Проделанная работа помогла закрепить полученные навыки в области компьютерной графики и проектирования программного обеспечения.

В процессе выполнения данной работы были выполнены следующие задачи:

- анализ алгоритмов удаления невидимых линий и поверхностей;
- анализ методов закрашивания;
- анализ алгоритмов моделирования броуновского движения;
- выбор подходящих для решения поставленной задачи алгоритмов;
- выявление основных требований для программного обеспечения;
- формализация модели и описание выбранных типов и структур данных;
- погружение в возможности языка *Java*;
- знакомство с библиотекой *JavaFX* и ее изучение.

# Литература

- [1] Авдеева С.М., Куров А.В. Алгоритмы трехмерной машинной графики: учебное пособие. - М.: Издательство МГТУ им. Н.Э. Баумана, 1996. - 60 с., ил.
- [2] Давыдов А.В., Ерофеева Е.А. Графический пользовательский интерфейс на Java / А. В. Давыдов, Е. А. Ерофеева. – Евразийский научный журнал. 2016. № 6. 265-267 с.
- [3] Дёмин А.Ю., Основы компьютерной графики: учебное пособие – Томск: Изд-во Томского политехнического университета, 2011. – 191 с.
- [4] Кроновер, Р. М. Фракталы и хаос в динамических системах. Основы теории / Р. М. Кроновер. – М. : Постмаркет, 2000. – 352 с.
- [5] Сухов К. JavaFX – Reach internet application от Sun прощай, унылый Swing? / К. Сухов. – Системный администратор. 2009. № 4 (77). 67-73 с.
- [6] Barnsley, M. F. Superfractals / M. F. Barnsley. – Cambridge : Cambridge University Press, 2006. – 453 p.
- [7] Jackson, E. A. Perspectives of Nonlinear Dynamics / E. A. Jackson. – New York : Cambridge University Press, 2008. – 496 p.
- [8] Karatzas, I. Brownian Motion and Stochastic Calculus (secon edition) / I. Karatzas, S. E. Shreve. – New York ; Berlin : Springer-Verlag, 1991. – 493 p.
- [9] Mandelbrot, B. B. Fractional brownian motions, fractional noises and applications / B. B. Mandelbrot, J. W. V. Ness // SIAM Review. – 1968. – October. – Vol. 10, no. 4. – 422–437 p.